

# Kronik Santral Seröz Korioretinopatide Fotodinamik Tedavi Sonrası OCT ve Fundus Otoflöresans Bulguları

Fundus Autofluorescence and OCT Findings Following Photodynamic Therapy for Chronic Central Serous Chorioretinopathy

Figen BATIOĞLU<sup>1</sup>, Emin ÖZMERT<sup>1</sup>, Sibel DEMİREL<sup>2</sup>, Neslihan ASTAM<sup>3</sup>

## Klinik Çalışma

### Öz

**Amaç:** Dekompanze kronik santral seröz korioretinopatide (SSKR) fotodinamik tedavinin (FDT) etkinliğini araştırmak ve tedavi sonrası OCT ve fundus otoflöresans değişikliklerini değerlendirmek

**Gereç ve Yöntem:** Klasik tedavi yöntemleriyle sonuç alınamayan ve kronik SSKR tanısı alan 6 olgunun 6 gözü çalışma kapsamına alındı. Klasik tedavi yöntemlerinin uygun olmadığı bu gözlere FDT planlandı. Olgularda tedavi öncesi tam oftalmolojik muayene yapılarak makulanın OCT kesitleri alındı. Flöresein, indosyanın yeşili (ICG) anjiografi ve otoflöresans görüntüler Heidelberg Retina Anjiografisi (HRA2) ile kaydedildi. Fotodinamik tedavi, anjiografilerdeki kaynağı belirsiz sızıntı alanına veya subretinal sıvının bulunduğu bölge hedef alınarak standart protokol uygulandı. Olgular tedaviyi takiben 1, 3 ay ve sonrasında 3 ay aralıklarla OCT ve otoflöresans görüntüleri ile değerlendirildi. İzlem süresi 3-9 ay arasında değişmekte olup ortalama 5,3 ay idi.

**Bulgular:** Tedavi öncesi OCT görüntülerile karşılaştırıldığında tüm gözlerde 1. ayda submaküler sıvının kaybolduğu ve izlem süresince nüks olmadığı görüldü. Görme keskinliği 2 gözde aynı kalırken, 4 gözde 2 sıra ve üzeri artış gözleendi. Tüm gözlerde submaküler sıvının kaybolması ile paralel olarak makuler otoflöresansda değişik paternler izlenirken, flöresein anjiografi bulgularında değişiklik yoktu. Takip süresinde hiçbir gözde OCT'de sıvı birikimi saptanmadığı için ilave tedavi uygulanmadı.

**Sonuç:** Dekompanze kronik SSKR'nin tedavisinde ICG yardımı ile yapılan fotodinamik tedavi, submaküler sıvı emilimi ve sızıntının önlenmesi ile görme artışı sağlamaktadır. İzlemde OCT ve FFA'nın yanı sıra fundus otoflöresansının değerlendirilmesi ile RPE'deki işlevsel değişiklikler saptanabilmektedir.

**Anahtar Kelimeler:** Fotodinamik tedavi, fundus otoflöresansı, optik koherens tomografi, santral seröz korioretinopati.

## Original Article

### ABSTRACT

**Purpose:** To investigate the efficacy of photodynamic therapy (PDT) in chronic central serous chorioretinopathy and to evaluate OCT and fundus autofluorescence changes.

**Materials and Methods:** Six eyes of six patients with chronic central serous chorioretinopathy which did not respond to classic treatment modalities were included. Patients underwent complete ophthalmic examination and macular OCT scans were taken. Fluorescein and indocyanine green angiographies and fundus autofluorescence images were obtained by Heidelberg Retinal Angiography 2 (HRA2). Photodynamic therapy was performed according to the standart protocol and on the site of undetermined source of leakage area and submacular fluid. Patients were followed-up at one and three months after PDT and with three month intervals after then by OCT and fundus autofluorescence images. Follow-up period ranged between 3 to 9 months (mean : 5.3 months).

**Results:** Submacular fluid disappeared one month after PDT and there was no recurrence during the follow-up. Visual acuity increased two or more lines in four eyes and did not change in two eyes. Different autofluorescence patterns were observed in all eyes in accordance with submacular fluid absorption, but fluorescein angiograms remained unchanged. During the follow-up, re-treatment was not needed because there was no fluid collection.

**Conclusion:** Indocyanine green guided PDT in the treatment of chronic central serous chorioretinopathy results with improvement of vision. Fundus autofluorescence may be an additional tool for monitoring the functional status of retinal pigment epithelium as well as OCT and fundus fluorescein angiography.

**Key Words:** Photodynamic therapy, fundus autofluorescence, central serous chorioretinopathy, optical coherence tomography.

Ret-Vit 2007;15:99-102

Geliş Tarihi : 17/01/2007

Kabul Tarihi : 09/02/2007

Received : January 17, 2007

Accepted: February 09, 2007

1- Ankara Üniversitesi Tip Fakültesi Göz Hastalıkları A.D., Ankara, Prof. Dr.  
2- Ankara Üniversitesi Tip Fakültesi Göz Hastalıkları A.D., Ankara, Asist. Dr.  
3- Ankara Üniversitesi Tip Fakültesi Göz Hastalıkları A.D., Ankara, Uzm. Dr.

1- M.D. Professor, Ankara University Faculty of Medicine, Department of Ophthalmology Ankara/TURKEY  
BATİOĞLU F., fbatioglu@gmail.com  
ÖZMERT E., eozmert@superonline.com

2- M.D. Ankara University Faculty of Medicine, Department of Ophthalmology Ankara/TURKEY  
DEMİREL S.,

3- M.D. Ankara University Faculty of Medicine, Department of Ophthalmology Ankara/TURKEY  
ASTAM N., neslihanastam@gmail.com

**Correspondence:** M.D. Professor, Figen BATİOĞLU  
Angora Evleri Meriç Sokak No:30 Beysukent Ankara/TURKEY

## GİRİŞ

Santral seröz koroidoretinopati (SSKR), retina pigment epithelinden (RPE) sızıntı sonucu arka kutupta oluşan idiopatik seröz duyu retina dekolmanı ile karakterize bir patolojidir.<sup>1</sup> Sıklıkla 20-50 yaş arası erkeklerde görülür. Genellikle tekrarlar ancak görme prognozu iyidir. Kronik formunda kalıcı subretinal sıvı, RPE atrofisi, kistoid makula dejenerasyonu, koroid neovaskülarizasyonu ve takiben ciddi görme azalması oluşmaktadır. Hastalığın akut fomlarında fokal laser fotokoagülasyonla sızıntı azaltılabilir ancak kronik olgularda sıkılık etkili olmamaktadır.<sup>2-4</sup>

İndosyanın yeşili anjiografi (İSYA) ile kronik SSKR'lı olgularda damarsal geçirgenliğin arttığı alanların saptanması ile koroid tutulumu olduğu ortaya konmuştur.<sup>5-7</sup> Sızıntı olan RPE alanında koroid geçirgenliğinin arttığı bilgisile tedavide yeni stratejiler belirlenmiştir. Kronik SSKR'nin tedavisinde ICG rehberliğinde yapılan fotodinamik tedavi sonucu submaküler sıvı emilimi ve sızıntıının önlemesi ile görme artışı olduğu bildirilmektedir.<sup>8,9</sup>

Santral seröz korioretinopatinin gelişiminde RPE önemli rol oynamaktadır ve RPE hücrelerinin metabolik aktivitesinde belirgin değişiklikler olduğu belirlenmiştir.<sup>10</sup> Tarayıcı laser oftalmoskopların kullanım alanına girmesile fundus otoflöresansının görüntülenmesi ve dağılımının değerlendirilmesi mümkün olmuştur. Non-invaziv olarak bu teknikle, SSKR'deki RPE değişiklikleri değerlendirilmiş, fundus otoflöresans paternleri ile patolojik bulgular ilişkilendirilmiştir.<sup>11,12</sup>

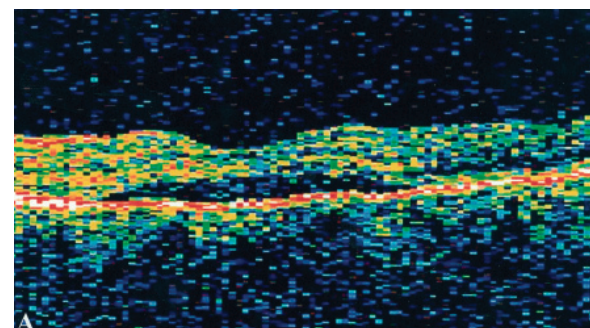
Bu çalışmada fotodinamik tedavi uygulanan kronik SSKR'lı olgularda fundus otoflöresans değişiklikleri araştırılmış, bulgular OCT ve FFA bulguları ile karşılaştırılmıştır.



**Resim A1:** FDT öncesi FA'da kronik sızıntı alanlarında hiperflöresans.



**Resim A2:** FDT öncesi otoflöresans görüntüsünde sağ dekolman alanında hafif hiperotoflöresans, sızıntı noktasında hipootoflöresans.



**Resim A3:** FDT öncesi OCT'de subfoveal sıvı.

## GEREÇ VE YÖNTEM

Kliniğimizde kronik SSKR tanısı alan 6 olgunun 6 gözü çalışma kapsamına alındı. Tüm gözlerde 16 hafıta veya daha üzeri submaküler sıvı ve RPE değişiklikleri mevcuttu. Klasik tedavi yöntemlerinin uygun olmadığı bu gözlere FDT planlandı. Olgulara tedavi öncesi tam oftalmolojik muayene yapılarak makulanın OCT kesitleri alındı. Flöresein, indosyanın yeşili(ICG) anjiografi ve otoflöresans görüntüler Heidelberg Retina Anjiografisi(HRA2) kullanılarak kaydedildi. Otoflöresan görüntüler, argon laser modu ile, 10 sn'lık sinema (movie) formatında alındı. Görüntüler kaydedilerek ortalama otoflöresan görüntü elde edildi. Bu görüntülerde artmış veya azalmış otoflöresan alanlar değerlendirildi.

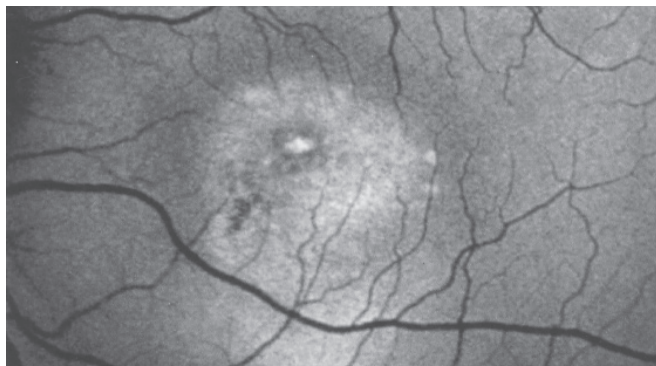
Fotodinamik tedavi, anjiografilerdeki kaynağı belirsiz sızıntı alanı veya subretinal sıvinin bulunduğu bölge hedef alınarak standart TAP protokolü ile uygulandı. Olgular tedaviyi takiben 1, 3 ay ve sonrasında 3 ay aralıkları OCT ve otoflöresans görüntülerile değerlendirildi. İzlem süresi 3-9 ay arasında değişmekte olup ortalama 5,3 ay idi.

## BULGULAR

Olguların tamamı erkek olup, yaş ortalaması 49.3 (32-63) idi. Başlangıç görme keskinliği 5 gözde 0.2-0.5 arasında değişmekte iken, 1 gözde 2.5 mps düzeyindeydi. Olgularda görme bozukluğunun süresi ortalama 11.5 (4-24) ay idi. Tedavi öncesi çekilen FA'larda kronik sızıntı alanlarına bağlı hiperflöresans mevcuttu (Resim A1). Otoflöresan görüntülemede tüm gözlerde fokal sızıntı noktaları hipootoflöresans izlendi. Sağ dekolman al-

Yaş	Şikayetin Süresi	İlk Görme	Son Görme	OCT İlk	OCT Son	Takip Süresi
Olg-1	56	1 yıl	0.2	Submaküler sıvi (148 mikron)	Sıvı yok	7 ay
Olg-2	38	4 ay	2.5 mps	Sağ submaküler sıvi (45 mikron)	Sıvı yok	6 ay
Olg-3	51	9 ay	0.5	Sağ submaküler sıvi (150 mikron)	Sıvı yok	3 ay
Olg-4	63	2 yıl	0.5	Submaküler sıvi (198 mikron)	Sıvı yok	3 ay
Olg-5	56	8 ay	0.3	Sağ submaküler sıvi (100 mikron)	Sıvı yok	4 ay
Olg-6	32	1 yıl	0.5	Submaküler sıvi (272 mikron)	Sıvı yok	9 ay

**Tablo 1:** Olguların özellikleri, tedavi öncesi ve sonrası GK ve OCT bulguları.



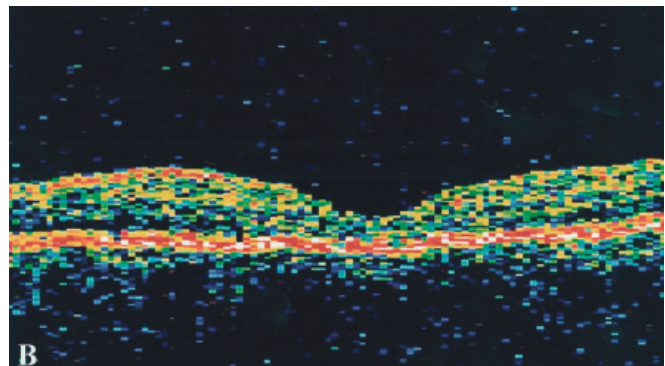
**Resim B1:** FDT'nin 1. ayındaki otoflöresans görüntüsünde eski dekolman alanında artmış hiperotoflöresans.

nında ise gözlerin 5'inde(%83) hiperotoflöresans (Resim A2), 1'inde ise hipootoflöresans ile etrafında hiperotoflöresans saptandı. OCT'de sıg makula dekolmanı vardı (Resim A3) ve ortalama yükseklik 152,1(45-272) mikrometre olarak hesaplandı.

Tüm gözlere standart tedavi protokolü ile fotodinamik tedavi uygulandı. Tedavi sonrası OCT görüntülerinde, tüm gözlerde submakuler sıvının 1. ayda kaybolduğu ve izlem süresince nüks olmadığı görüldü (Tablo-1). Görme keskinliği 2 gözde aynı kalırken 4 gözde 2 sıra ve üzeri artış gözlendi (Tablo-1).

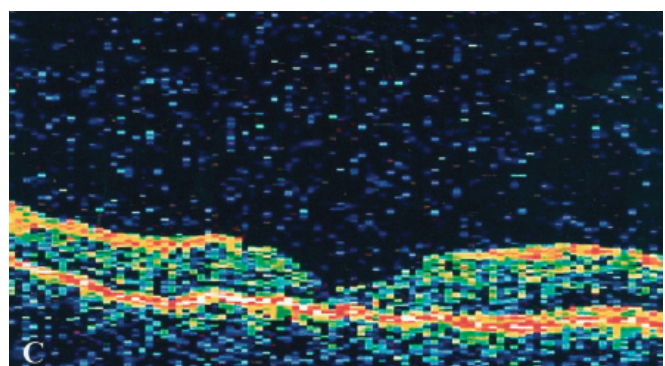


**Resim C1:** FDT'nin 7. ayındaki otoflöresans görüntüsünde eski dekolman alanında 1. ayda artan hiperotoflöresansda azalma, sizıntı noktasında hipootoflöresansda belirginleşme.



**Resim B2:** FDT'nin 1. ayındaki OCT'de normal foveal kontür oluşumu.

Tedavi sonrası kontrollerde gözlerin tümünde submakuler sıvının kaybolması (Resim B2-C2) ile paralel olarak makuler otoflöresansda farklı paternler izlenirken floresein anjiografi bulgularında değişiklik yoktu (Tablo 2). Tüm gözlerde fokal sizıntı noktaları hipootoflöresan izlendi. Tedavi sonrası 1. ay kontrollerinde 5 gözde başlangıçtaki hiperotoflöresansın belirginleştiği (Resim B1), son kontrollerde ise hiperotoflöresansın belirgin olarak azaldığı ve tedavi öncesi görünüme benzettiği görüldü (Resim C1). Takip süresinde hiçbir gözde OCT'de sıvı birikimi saptanmadığı için tekrar tedaviye gerek duyulmadı.



**Resim C2:** FDT'nin 7. ayındaki OCT'de devam eden normal makula görünümü

	FDT Öncesi	FDT Sonrası
Olgu-1	Sığ dekolman alanında hafif hiperotoflöresans, sizıntı noktasında hipootoflöresans	Eski dekolman alanında 1. ayda artan hiperotoflöresansda azalma, sizıntı noktasında hipootoflöresansda belirginleşme
Olgu-2	Sığ dekolman alanında hiperotoflöresan noktalar, sizıntı noktasında hipootoflöresans	Sığ dekolman alanındaki hiperotoflöresan noktalarda azalma, sizıntı noktasında hipootoflöresans
Olgu-3	Sığ dekolman alanında alt damar arkasına uzanan hiperotoflöresans, sizıntı noktalarında hipootoflöresans	Eski dekolman alanındaki hiperotoflöresansda azalma, sizıntı noktasında hipootoflöresans
Olgu-4	Dekolman alanında hiperotoflöresans, sizıntı noktasında hipootoflöresans	Eski dekolman alanında hiperotoflöresansda azalma, sizıntı noktasında hipootoflöresans
Olgu-5	Sığ dekolman alanında keskin sınırlı hipootoflöresans	1. ayda artan hiperotoflöresan noktalarda azalma, sizıntı alanında hipootoflöresans
Olgu-6	Dekolman alanında hafif hiperotoflöresans Hiperotoflöresan noktalar	

**Tablo 2:** Tedavi öncesi ve sonrası otoflöresans bulguları.

## TARTIŞMA

Kronik SSKR'nin etiyolojisinde RPE fonksiyon bozukluğu sonucu oluşan sızıntı sorumlu tutulmuştur. Fakat son yıllarda ICG ile yapılan çalışmalarında RPE altındaki koriokapiller tabakanın geçirgenliğinde artış olduğu ve subretinal alana sızıntı sonucu nörosensörial dekolmana yol açtığı gösterilmiştir. Yolar ve arkadaşları aktif tutulum göstermeyen gözlerde ICG anjiografi ile yaptıkları çalışmalarında, patolojinin sadece RPE defektinin olduğu bölgede değil, tutulu gözün başka bölgelerinde ve klinik olarak tutulum göstermeyen gözde de bulunduğu tespit etmişlerdir.<sup>7</sup>

Tedavide fokal laser fotokoagülasyon sızıntı olan RPE alanına yapıldığında nörosensörial dekolmanın düzelmeye sağlayabilecektir. Fakat kaynağın çok net belirlenemediği kronik SSKR olgularında etkisi tartışmalıdır. ICG rehberliğinde yapılan fotodinamik tedavide, makula dejeneresansında olduğu gibi nörosensörial doku korunarak koriokapiller tabaka hedef alınmıştır. Fotodinamik tedavi sonrası yapılan anjiogramlarda FDT uygulamasının yapıldığı yerlerde koroid hipoperfüzyonu gösterilmiştir.

Cardillo ve ark. yaptığı bir çalışmada kronik SSKR ve makula dekolmanı olan 16 göze fotodinamik tedavi uygulanmış ve gözlerin %81'inde makuladaki eksudasyonun tamamen kaybolduğu gözlenmiştir.<sup>8</sup> Görme keskinliği gözlerin 11'inde 1-4 sıra artarken, 5'inde aynı düzeyde kalmıştır. FDT uygulaması yapılan alanda ICG ile koroid hipoperfüzyonu gösterilmiştir. Çalışma sonunda TAP çalışması kriterlerine uymayan hastalarda ICG rehberliğinde yapılan FDT'nin etkili olduğu sonucuna varılmıştır. Taban ve arkadaşlarının yaptığı çalışmada ise kronik SSKR'li 5 göze FDT uygulanmış ve tüm gözlerde subretinal sıvının hızla gerilediği ve olumlu görme sonuçları olduğu bildirilmiştir.<sup>9</sup>

Bizim çalışmamızda da kronik SSKR olan 6 olgunun 6 gözüne FDT uygulanmış ve ortalama 5,3 aylık takipte tüm olgularda subretinal sıvının tamamen gerilediği ve tekrar oluşmadığı gözlenmiştir. Görme keskinliği 2 gözde aynı kalırken, 4 gözde 2 sıra ve üzeri artış izlenmiştir.

Santral seröz korioretinopatili olguların izleminde OCT; PED, seröz dekolman ve buna bağlı retina kalınlaşmasının değerlendirilmesinde yararlı ve objektif bir tanı yöntemidir.<sup>13</sup> Tanı ve takipte flöresein anjiografisinin yanı sıra fundus otoflöresansının değerlendirilmesi ile retina pigment epitelindeki işlevsel değişiklikler saptanabilmektedir. Fundus otoflöresansı, RPE'deki lipofuskin varlığı ile ilişkili, non-invaziv bir görüntüleme tekniğidir. RPE düzeyindeki değişiklikler, artmış veya azalmış otoflöresans görünümlerine neden olmaktadır. Azalmış otoflöresans, RPE atrofisi veya sıvı blokajına bağlı görülürken, artmış otoflöresans yüksek metabolik aktivite<sup>14</sup> veya laser fotoagülasyonun geç reaksiyonu<sup>15</sup> sonucu olmaktadır.

Akut ve kronik SSKR'de flöresein anjiografi görüntülerini ile karşılaştırarak otoflöresans paternleri tarif edilmiştir.<sup>11,12</sup> Akut SSKR'de sızıntı noktasında ve/veya seröz dekolman alanında azalmış otoflöresans saptanmıştır. Bunun nedeni muhtemel olarak subretinal sıvı nedeni ile maskelenmiş flöresans olarak açıklanmıştır. Kronik SSKR'de ise sızıntı noktasında azalmış veya benekli

otoflöresans izlenirken, rezidü seröz dekolman alanında otoflöresansda belirgin artış gözlenmiştir. Artmış otoflöresans, nörosensörial dekolman sıvısında artmış floroforlara ve RPE defektlerine ikincil olarak gelişmiş reaktif değişikliklere bağlanmıştır.

Çalışmamızda FDT öncesinde tüm gözlerde fokal sızıntı noktaları hipotofloresan izlenmiştir. Dekolman alanında 1 olgu hariç tüm gözlerde sonuçlarla uyumlu olacak şekilde hiperotofloresans izlenmiştir. Kronik SSKR'deki subretinal sıvının yüksek protein içeriği (florofor) ve RPE'deki reaktif değişiklikler nedeniyle tedavi öncesi genellikle hiperotofloresans oluşturmaktadır. FDT sonrası koroid nonperfüzyonuna bağlı sızıntıının azalmasıyla, subretinal sıvıdaki florofor konsantrasyonu artmaktadır. Bu nedenle çalışmamızda tedavi sonrası 1. ay kontrollerde 5 gözde otoflöresansda artma eğilimi saptanmıştır. İzlem süresi uzadığında genellikle sığ dekolmanın yataşması ile mevcut hiperotofloresans, floroforların azalmasına bağlı olarak ve/veya RPE fonksiyonlarının normale dönme yanıtı ile belirgin olarak azalmaktadır.

Sonuç olarak kronik SSKR'nin tedavisinde fotodinamik tedavinin olumlu etkisi vardır. İzlemde OCT'nin kullanılması ile retinadaki morfolojik değişiklikler, fundus otoflöresansının değerlendirilmesi ile de retina pigment epitelindeki işlevsel değişikler saptanabilmektedir.

Tedavinin güvenilirliğinin ve uzun dönemdeki etkinliğinin belirlenebilmesi için daha geniş serilerde uzun süreli çalışmalara ihtiyaç vardır.

## KAYNAKLAR/REFERENCES

1. Gass JDM.: Pathogenesis of disciform detachment of the neuroepithelium. II. Idiopathic central serous chorioretinopathy. Am J Ophthalmol. 1967;63:587-615.
2. Leaver P, Williams C.: Argon laser photocoagulation in the treatment of central serous chorioretinopathy. Retina. 2002;22:19-24.
3. Ficker L, Vadis G, White A, et al.: Long-term follow-up of a prospective trial of argon laser photocoagulation in the treatment of central serous retinopathy. Br J Ophthalmol. 1988;72:829-834.
4. Jalk AE, Jabbour N, Avila M, et al.: Retina pigment epithelium decompression. II Laser treatment. Ophthalmology. 1984;91:1549-1553.
5. Cardillo Piccolino F, Borgia L.: Central serous chorioretinopathy and indocyanine green angiography. Retina. 1994;14:231-242.
6. Cardillo Piccolino F, Borgia L, Zinicola E, et al.: Indocyanine green angiographic findings in central serous chorioretinopathy. Eye. 1995;9:324-332.
7. Yolar M, Akar S, Arvas S, Müftüoğlu G, ve ark.: Santral seröz korioretinopatili hastalarda aktif tutulum göstermeyen gözlerin Indocyanine Green anjiografisi ile değerlendirilmesi. T Oft Gaz 2001;31:120-124.
8. Cardillo Piccolino F, Eandi CM, Ventre L: Rigault de la Longrais RC, Grignolo FM. Photodynamic therapy for chronic central serous chorioretinopathy. Retina. 2003;23:752-763.
9. Taban M, Boyer DS, Thomas EL, et al.: Chronic central serous chorioretinopathy: photodynamic therapy. Am J Ophthalmol. 2004;137:1073-1080.
10. Hall LS, Guyer DR, Yannuzzi LA.: Central serous chorioretinopathy. In: Guyer DR, Yannuzzi LA, Chang S, Shields JA and Green WR (eds). Retina-Vitreus-Macula Vol 1 Philadelphia:Saunders. 1999;206-216.
11. Framme C, Walter A, Gabler B, et al.: Fundus autofluorescence in acute and chronic-recurrent central serous chorioretinopathy. Acta Ophthalmol Scand. 2005;83:161-167.
12. Eandi CM, Ober M, Iranmanesh R, et al.: Acute central serous chorioretinopathy and fundus autofluorescence. Retina. 2005;25:989-993.
13. Batioğlu F, Aydin A, Atmaca L.: Santral seröz korioretinopatının tanı ve takibinde optik koherens tomografi. Ret-Vit. 2002;10:148-155.
14. Feeney-Burns L, Hildebrand ES& Eldridge S. Ageing human RPE: morphometric analysis of macular, equatorial and peripheral cells. Invest Ophthalmol Vis Sci. 1984;25:195-200.
15. Framme C, Roider J.: Immediate and longterm changes of fundus autofluorescence in continuous wave laser lesions of the retina. Ophthalmic Surg Lasers Imaging. 2004;35:131-138.